

3次元モデルによる琵琶湖の潮流解析

京都大学工学部 正員 岩佐義朗
京都大学大学院 学生員 宮川勇二

大林組 正員 松岡隆之
京都大学大学院 学生員○添 康裕

1.はじめに；筆者らは、従来より鉛直方向に24層に分割した準三次元モデルを琵琶湖に適用し、潮流の数値解析を行ってきている。本報では、とくに成層が発達している場での吹送流の特徴を知るために、初期条件として、水面を基準水位で静止させ、水温分布としては各層ごとに一定の値を与えた成層状態を想定し、これに5%secの南西風を12時間吹かせた場合の水位および躍層面の挙動の解析をimplicit法およびexplicit法を用いて行う。

2.基礎方程式； x, y, z 軸はそれぞれ東、北、鉛直上向きとし $\frac{\partial u}{\partial t} + Iu - fv = -\frac{1}{\rho_0} \frac{\partial p}{\partial x} + Av \frac{\partial^2 u}{\partial z^2} + Ah \frac{\partial^2 u}{\partial z^2}$ (1)

正にとる。基礎式は右のとおりで記号は慣用に従っている。 $\frac{\partial v}{\partial t} + Iv + fu = -\frac{1}{\rho_0} \frac{\partial p}{\partial y} + Av \frac{\partial^2 v}{\partial z^2} + Ah \frac{\partial^2 v}{\partial z^2}$ (2)

3.計算手順；時間差分について、 $t=n\Delta t$ と $t=(n+1)\Delta t$ での水理量 $0 = -g - \frac{1}{\rho_0} \frac{\partial p}{\partial z}$ (3)

量を既知として、 $t=(n+2)\Delta t$ の水理量を求めることにする。 $\frac{\partial u}{\partial z} + \frac{\partial v}{\partial y} + \frac{\partial w}{\partial x} = 0$ (4)

(以下、記号の右肩に付した添字は時間を表わす。) $\frac{\partial(\Delta p)}{\partial t} + I(\Delta p) = Kv \frac{\partial^2(\Delta p)}{\partial z^2} + K_h \frac{\partial^2(\Delta p)}{\partial z^2}$ (5)

〈Implicit法〉(3)式より、静水圧分布式として $P = P_0 g z - \int_{z_0}^z \rho g dz$ (6) $I = I - L, L = U \frac{\partial}{\partial x} + V \frac{\partial}{\partial y} + W \frac{\partial}{\partial z}, \Delta p = P_0 - P$

が得られる。(6)式の左辺第一項を $L = (1-\theta)L + L^{n+1}$ (7) (θ : 加重平均のパラメータ) のように評価すると、運動方程式(1),(2)中の未知量はそれぞれ、 U^{n+2}, V^{n+2} および W^{n+2}, L^{n+2} となる。ここで、連続式を column (水平面の分割で得られた水深を高さとする水柱) を control volume として積分し、湖面での境界条件を用いて、 $\frac{\partial L}{\partial t} = -\frac{3}{\Delta z} \int_{z_0}^z U dz - \frac{3}{\Delta y} \int_{y_0}^y V dz$ (8) を導く。この式中の U, V に(7)式同様の加重平均を用いれば、(8)式中の未知量は L^{n+2} のみとなり、 L^{n+2} に関する連立一次方程式が得られる。これを L^{n+2} について解く。その結果を(1),(2)式に代入して U^{n+2}, V^{n+2} を求め、それらを(4),(5)式に代入し $W^{n+2}, \Delta p^{n+2}$ を求める。以上の計算を繰り返し行なう解析が implicit 法である。〈Explicit法〉(6)式中の L を $L = (1-\theta)L + L^{n+1}$ と評価することにより、(1),(2)式中の未知量は各々 U^{n+2}, V^{n+2} のみとなり explicit に解くことができる。得られた U^{n+2}, V^{n+2} を(8)式に代入すれば L^{n+2} が計算される。計算の他の部分は implicit 法の場合と同じである。

4.計算条件；琵琶湖全域を水平面内で x, y 軸方向に 1 km ごとに、鉛直方向には最大24層に分割した。時間ステップ Δt は implicit 法で $\Delta t = 300 \text{ sec}$, explicit 法で $\Delta t = 10 \text{ sec}$ として、条件を単純化するために、河川による流入・流出や湖面での熱収支および湖中での熱生成といふ他の水理および気象条件はすべてないとして。また、 Ah, K_h については一定値を与え、 Av, Kv についてはこう配型のリチャードソン数 $R_i = (-g d^2/dz^2)/(\rho_0 (d^2y/dz^2)^2)$ の関数として右表の形で与えることにして。

5.結果；図1に示したA,B,Cの3地点における水位の時間変化を implicit 法 Av および explicit 法で解析した結果が図2および図3である。両図において、これら Kv $Kvo \exp(-1.5R_i)$ Kvi 3地点で4~5時間周期の水位変動が見られる。その位相はB,C地点で同位相であり、A地点ではこれら2地点と逆位相になっている。この静振は、従来より南湖で顕著に観測されている。B地点附近に節をもつ、長軸方向の单振動を表わしていると考えられる。Explicit 法(図3)では、北湖において73分周期の水位変動が顕著に表われている。本報に示す図を掲載していないが、この周期の水位変動は、北湖北部短軸由

Yoshiaki IWASA ; Takayuki MATSUOKA ; Yuuji MIYAGAWA ; Yasuhiro MINATO

$0 \leq R_i < 1$	$R_i \geq 1$
$Avo \exp(-3.0R_i)$	Av
$Kvo \exp(-1.5R_i)$	Kvi

および南部短軸上ではそれが位相が同じであるが、北湖北部と南部としては、位相が逆になる。すなはち、図1に示した北湖長軸方向の8地点における水位の時間変動を表わした図4から、第4地点と第5地点の間で位相が反転しており、第4地点での振幅は極めて小さいものであることがわかる。これより、節は図1に示した点線上附近に存在するものと考えられる。周期およそ推定した節の位置より、この静振は、従来より北湖の卓越周期である約10分周期の長軸方向の3節振動を示していると考えられる。他の2つの節は南湖に存在するといわれるが、南湖では4時間周期の静振がきわめており、節の位置を確認することはできない。

図5は、風停止後、0, 12, 24, 36時間

後の初期に与えた水温躍層(水深21.5m)

での水温の平面的な分布を示してい

る。この図において低水温域は、躍層面が初期より上昇している部分を

表わしている。これらの図より、風の

吹送により、風上側で上昇し、風下

側で低下し、長軸方向の勾配をもつていて躍層面が、時

間の経過とともに、その傾斜を保ちながら反時計回りに

回転しているのがわかる。すなはち、北湖周辺における躍層

面での水温変化の位相より周期は56時間であることがわ

かる。この静振はCsanyiらが理論的に導いた回転性の

内部波(内部ケルビン波)の周期とほぼ一致している。琵琶

湖においてこのような内部波が存在することが、金成²²⁾によ

りて見出されているが、今回の計算でそれが確認され

たことになる。

5.今後の研究課題; Explicit法により、implicit法では再現

できぬ短周期の静振の再現が

可能になるとともに、explicit法

では波を小さくするため、implicit

法と同時に解釈を行うと、計算時

間がかかりすぎるという欠点がある。

今後、実現象に近い条件下で現象を

ある程度定量的に把握でき、計算時

間の少なくてすむモデルへと改良す

る必要がある。

<参考文献> 1) 岩佐, 井上, 阿部; 琵琶湖湖流の三次元的角解釈, 京都大学防災研究所年報第26号

2) 金成誠一; 琵琶湖の長周期内部波, 水温の研究第17卷, 第5号, PP3162~3174.

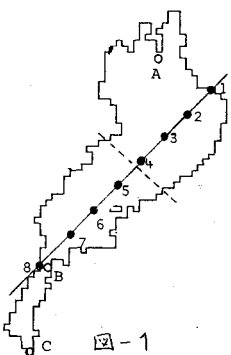


図-1

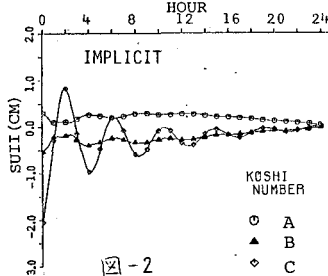


図-2

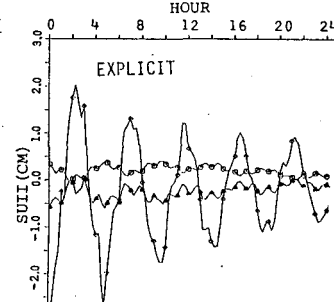


図-3

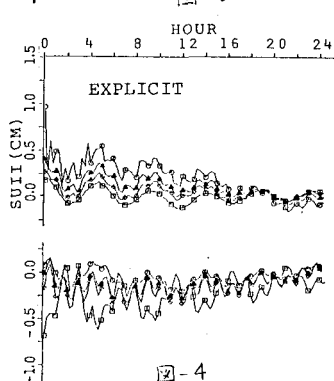


図-4

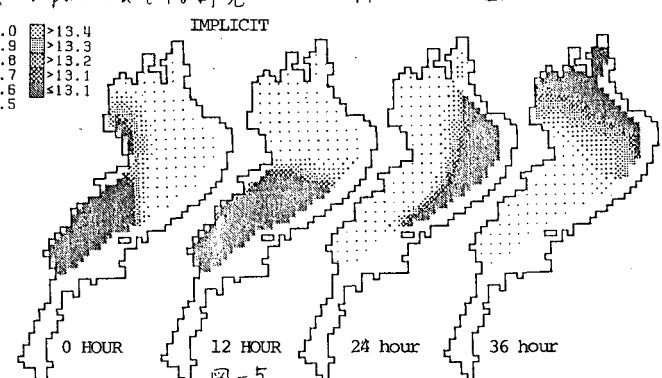


図-5